РОССИЙСКАЯ АКАДЕМИЯ НАУК СИБИРСКОЕ ОТДЕЛЕНИЕ

ЖУРНАЛ СТРУКТУРНОЙ ХИМИИ

НАУЧНЫЙ ЖУРНАЛ

Основан в 1960 г.

Выходит 12 раз в год

ТОМ 66 Сентябрь

№ 9, 2025

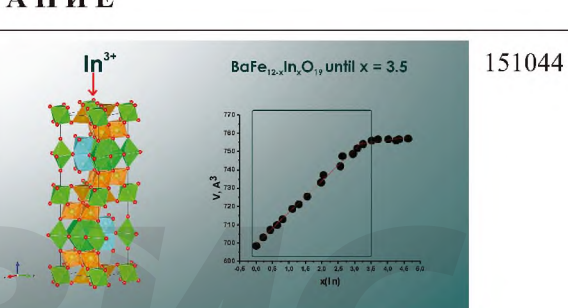
151081

СОДЕРЖАНИЕ

Пунда А.Ю., Живулин В.Е., Клыгач Д.С., Гудкова С.А., Винник Д.А.

Кристаллическая структура и электродинамические параметры замещенного индием гексаферрита бария $BaFe_{12-x}In_xO_{19}$ (x=0-5)

Ключевые слова: гексаферрит бария, замещение индием, диэлектрическая проницаемость, магнитная проницаемость



Байдина И.А., Первухина Н.В., Громилов С.А.

Строение новой фазы летучего комплекса платины(II) с 1,1,1-трифтор-4-иминопентан-2-оном

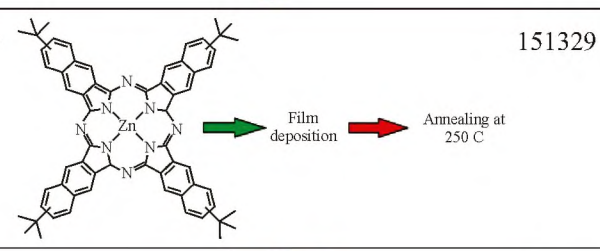
Ключевые слова: кетоиминаты Pt(II), кристаллическая структура, летучесть, метод MOCVD

HI

Поляков М.С., Сухих А.С., Клямер Д.Д., Басова Т.В.

Структурные и сенсорные свойства пленок тетра-*трет*-бутилзамещенного нафталоцианина цинка(II)

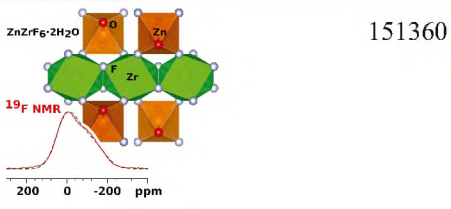
Ключевые слова: сенсорные свойства, рентгенофазовый анализ, фазовый переход, нафталоцианин, полупроводниковые пленки



Слободюк А.Б., Полянцев М.М., Диденко Н.А.

Строение и спектры ЯМР ¹⁹F, ¹H гидратов гексафторидоцирконата цинка

Ключевые слова: фторидоцирконаты, фториды, спектры ЯМР, ¹⁹F, ¹H, протонная подвижность, кристаллическое строение



Зазуля А.Е., Абрамов П.А., Ткачев С.В., 151497 Шевень Д.Г., Комаровских А.Ю., Плюснин П.Е., Васильченко Д.Б. Структура дигидрата транс, транс- $[Pt(py)_2(N_3)_2(OH)_2] \cdot 2H_2O$ и синтез пролекарств Pt(IV) на его основе Ключевые слова: платина, азидные комплексы, пролекарства, рентгеноструктурный анализ, спектроскопия, нитроксильный радикал Gao R., Ji Y., Cai Y., Ma X., Li Z., Jin S., Wang D. 151507 Preparation, crystallographic feature, and Hirshfeld surface analysis of two organic salts based on 1,2-diaminobenzene, trichloroacetic acid and 4-nitro-phthalic acid Keywords: crystal structures, non-covalent contacts, organic salts, 1,2-diaminobenzene, carboxylic acids, Hirshfeld surface analysis Банару А.М., Коротеев М.П., Поздеев А.О., 151545 Батаев В.А., Коротеев А.М., Лысенко К.А. Конформационный изоморфизм и структурные детерминанты в кристаллической структуре (2R,3R)-5-(2-(хлороацетокси)-2-(3,4диацетоксифенил)-4-оксохроман-3,7-диил диацетата Ключевые слова: конформационный изоморфизм, молекулярное координационное число, энергия межмолекулярного взаимодействия, поверхность Хиршфельда Тараканова Е.Г., Майоров В.Д., Кислина И.С. 151548 Строение структурообразующих комплексов в растворах: 3,5-диметилпиразол – трифторуксусная кислота -**N,N-диметилформамид** Ключевые слова: 3,5-диметилпиразол, трифторуксусная кислота, N,N-диметилформамид, структура растворов, кислотно-основные взаимодействия, водородная связь, Н-связанные комплексы, ИК спектроскопия, квантово-химические расчеты Hu Z., Yang Q., Zhou Y., Ren Y., Lei Y. 151560 Synthesis, characterization and X-ray crystal structures of two Schiff base copper(II) complexes with catalytic property Keywords: Schiff base, copper complex, crystal structure, catalytic property Бондаренко М.А., Загузин А.С., Коробейников Н.А., 151918 Редькин Р.В., Пилюкова Е.А., Зайцев А.В., Корольков И.В., Рахманова М.И., Адонин С.А. 3D металл-органический координационный полимер Mn(II) на основе 2,5-дииодтерефталата

Ключевые слова: марганец,

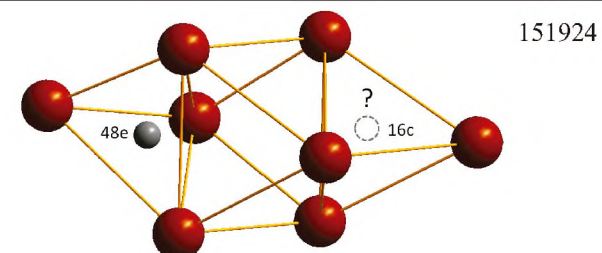
металл-органические координационные полимеры,

терефталаты, карбоксилатные комплексы

Серебренникова П.С., Сухих А.С., Наумов Н.Г., Громилов С.А.

Tb₂O₃: синтез, рентгеноструктурное исследование монокристаллов, тепловое расширение в интервале 90-490 К

Ключевые слова: рентгеноструктурный анализ монокристаллов, внешний эталон, оксид тербия, параметры элементарной ячейки, тепловое расширение



Хан Э.В., Кох К.А.

Кристаллизация LBO в системе Li₂O-B₂O₃-LiF

Ключевые слова: фазовые равновесия, триангуляция, область первичной кристаллизации, LiB₃O₅

Коваленко Г.А., Перминова Л.В., Бородина О.А., Ларичев Ю.В., Саланов А.Н.

Исследование методами МУРР и СЭМ процессов супрамолекулярной агрегации ферментов на поверхности углеродных носителей-адсорбентов и их влияние на биокаталитические свойства иммобилизованной липазы

Ключевые слова: малоугловое рентгеновское рассеяние, электронная микроскопия, углеродные носители, липаза, адсорбционная иммобилизация, супрамолекулярная агрегация

Popova A.S., Maximova A.D., Chernyavskiy D.R., Cherkashina N.V., Panina M.V., Sulimova O.V., Sosunov E.A., Dorovatovskii P.V., Vargaftik M.N., Yakushev I.A.

Hidden complexity of a simple compound: Unexpected polymorphism of tetranuclear platinum(II) acetate Pt4(OCOMe)8

Keywords: platinum, carboxylates, acetates, crystal structure, polymorphism

Адсорбция и агрегация липазы на углеродных носителях



152304

Novel polymorph of Pt(II) acetate

Рахманова М.И., Сухих Т.С., Коваленко Е.А.

Влияние гидратного окружения на люминесцентные свойства гетеролантаноидных комплексов Pr(III) и Eu(III) с кукурбитурилом

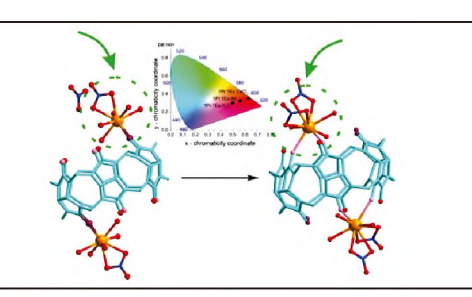
Ключевые слова: лантаноиды,

рентгеноструктурный анализ, кукурбитурил, супрамолекулярная химия, кристаллическая структура, люминесценция

Крисюк В.В., Байдина И.А., Корольков И.В., Тургамбаева А.Е.

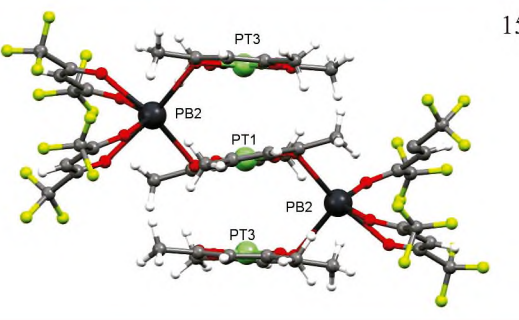
Структура гетеробиметаллических В-дикетонатов, образованных ацетилацетонатом платины(II) и гексафторацетилацетонатом свинца(II)

Ключевые слова: платина, свинец, β-дикетонаты, летучий гетерометаллический комплекс, металл-металл взаимодействия. координационный полимер



152314

152312



152124

152299

 $In_{0.8}GaZn_{1.1}Sn_{0.1}O_4$ Зирник Г.М., Созыкин С.А., Ковалев А.И., 152368 Шерстюк Д.П., Чернуха А.С., Солизода И.А., Болейко Г.М., Гудкова С.А., Винник Д.А. Синтез замещенного оловом оксида индиягаллия-цинка при низких температурах Ключевые слова: тройной оксид индия-галлия-цинка, олово, метод горения нитратно-органического геля, рентгенофазовый анализ, сканирующая электронная микроскопия, энергодисперсионная спектроскопия Ведькал А.В., Кадцын Е.Д. 152473 Влияет ли среда кристаллизации состав окружающего раствора на структуру и стабильность комплекса белка с лигандом? Молекулярно-динамическое исследование Ключевые слова: молекулярно-динамическое моделирование, белок-лигандные комплексы, белковая кристаллизация, среда кристаллизации, SARS-CoV-2, М^{рго}, ДМСО, диоксан Найферт С.А., Осипов А.А., Сенчурин В.С., 152915 Борисов М.В., Клюкин Г.В., Раджакумар К., Спиридонова Д.В., Жеребцов Д.А. Синтез и строение иодида 4-ацетил-N,N,N-триметиланилиния Ключевые слова: координационные полимеры, кетоны, рентгеноструктурный анализ, соли аммония Колеватов Д.С., Дружков Н.О., Якушев И.А., 152918 Дороватовский П.В., Пискунов А.В. Металл-органические координационные полимеры цинка на основе тетразиновых и карбоксилатных лигандов Ключевые слова: цинк, тетразин, металл-органический координационный полимер, редокс-активный лиганд, рентгеноструктурный анализ Французова Л.В., Герасимова Д.П., Гильфанов И.Р., 152922 Никитина Л.Е., Захарычев Д.В., Лодочникова О.А. Полиморфизм с варьированием типов стереоизомерного распознавания: две кристаллические модификации изоборнилацетамида Ключевые слова: изоборнилацетамид, полиморфы, хиральность, гомохиральное распознавание, кристаллическая структура

Содержание следующего номера — в конце журнала

- © Сибирское отделение РАН, 2025
- © Институт неорганической химии им. А.В. Николаева СО РАН, 2025
- © Новосибирский государственный университет, 2025